



## مطالعه عددی عملکرد بستر کاتالیستی یک رانشگر تکمولفه‌ای تحت تأثیر ضربت تخلخل بستر

محمد رضا سلیمی، حدیثه کریمايی\*

گروه علوم فضایی، پژوهشگاه هواشناسی، وزارت علوم تحقیقات و فناوری، تهران، ایران.

## تاریخچه داوری:

دریافت: ۱۴۰۰/۸/۱۰

بازنگری: ۱۴۰۱/۰۲/۱۸

پذیرش: ۱۴۰۱/۰۳/۲۳

ارائه آنلاین: ۱۴۰۱/۰۴/۱۱

## کلمات کلیدی:

رانشگر هیدرازینی

بستر کاتالیستی

محفظه تجزیه

ضریب تخلخل

دانه کاتالیست

**خلاصه:** در رانشگرهای تکمولفه‌ای هیدرازین پس از عبور از بستر کاتالیستی طی یک واکنش گرمaza به محصولات داغ گازی تجزیه می‌شود. در این مقاله، محفظه تجزیه یک رانشگر تکمولفه‌ای هیدرازینی، در مقیاس دانه‌های تشکیل دهنده بستر، بصورت عددی مدل شده است و اثر پارامتر ضربت تخلخل بستر کاتالیستی که مهمترین پارامتر تأثیرگذار بر عملکرد محفظه تجزیه است، مورد بررسی قرار گرفته است. شبیه‌سازی‌ها بصورت دو بعدی مقاین محوری بالاحاظ جریان پایا و در فاز گاز صورت گرفته است و دانه‌های کاتالیست با قطر متوسط ۱ میلی‌متر در سه ضربت تخلخل متفاوت ۰/۴، ۰/۵۵، ۰/۶۵ در نظر گرفته شده‌اند و فشار ورودی محفظه تجزیه نیز ۱۵ بار در نظر گرفته شده است. نتایج نشان داد که ضربت تخلخل تأثیر بسیار قابل توجه بر عملکرد بستر داشته به طوریکه با کاهش ضربت تخلخل، سطح تماس مؤثر برای انجام واکنش‌های شیمیایی افزایش می‌یابد که این موضوع، منجر به افزایش تجزیه هیدرازین شده، و سبب بهبود عملکرد بستر کاتالیستی خواهد شد. همچنین با کاهش این ضربت، دمای بست و دمای دیواره بیرونی افزایش و دبی جرمی عبوری کاهش می‌یابد. کاهش ضربت تخلخل بستر از ۰/۶۵ تا ۰/۴۰، سبب حدود ۴۰٪ افت فشار بستر نسبت به فشار ورودی اولیه و همچنین حدود ۴۰٪ کاهش در دبی جرمی عبوری از بستر می‌گردد. بنابراین بررسی این پارامتر می‌تواند کمک شایانی به محققین در تعیین و بهینه‌سازی راندمان محفظه تجزیه بنماید.

## ۱- مقدمه

رانشگرهای تکمولفه‌ای موجود عموماً از سه نوع ساخت هیدرازین،<sup>۱</sup> پرواکسید هیدروژن<sup>۲</sup> و هیدروکسیل آمونیم نیترات<sup>۳</sup> استفاده می‌کنند. استفاده از رانشگرهای تکمولفه‌ای بر پایه ساخت هیدرازین، افق جدیدی را در دانش بشر گشوده است، که مستقیماً بر اکتشاف منابع طبیعی در فضای بین سیاره‌ای و روی زمین، پیش‌بینی آب و هوا، ارتباطات رادیویی و تلویزیونی، ناوپری هوایی و دریایی تأثیرگذار بوده است [۱].

کرسپو<sup>۴</sup> در سال ۱۹۷۶ ضربه ویژه یک رانشگر هیدرازینی را بر اساس تجزیه آمونیاک، محاسبه کرد و توانست معادله‌ای را برای نرخ تجزیه هیدرازین و آمونیاک پیشنهاد دهد. او همچنین معادله همبستگی را برای کسر جرمی گونه‌ها در انتهای ناجیه تبخیر ارائه کرد. اکلاف و دپنر<sup>۵</sup> در سال ۱۹۸۹، مدل‌سازی و شبیه‌سازی یک رانشگر هیدرازینی را مورد مطالعه قرار دادند. این محققان، سینتیک تجزیه کاتالیستی هیدرازین، در یک

2 Hydrazine (N2H4)

3 Hydrogen Peroxide (H2O2)

4 Hydroxyl Ammonium Nitrate; HAN (NH3OHNO3)

5 Crespo

6 Ekloff and Deppner

ماهواره‌ها و کاوشگرهای فضایی معمولاً دارای سیستم‌های پیشرانه کوچکی به منظور مانور مداری و کنترل وضعیت می‌باشند. از جمله اینها، رانشگرهای تکمولفه‌ای می‌باشند که از نوع رانشگرهای شیمیایی ساخت مایع بوده و به منظور ایجاد گشتاور حول سه محور مختصات، بسته به مأموریت مورد نظر در قسمتهای مختلف فضاییما جانمایی و چیدمان می‌گردد. اجزای اصلی این رانشگرها شامل مخزن فشارگذاری، مخزن ساخت، انژکتور، محفظه رانش<sup>۶</sup> و نازل می‌باشد. در این رانشگرها به منظور آزادسازی انرژی شیمیایی ساخت، از مکانیسم تجزیه استفاده می‌شود. که رایج‌ترین روش تجزیه ساخت، استفاده از بستر کاتالیستی می‌باشد. از جمله مزیت‌های این رانشگرها می‌توان به سادگی و قابلیت اطمینان بالا و تعداد استارتر و خاموشی نامحدود و کنترل بدیری مناسب و دقت تزریق مداری بالا و نیز سایقه طولانی مدت و استفاده موفقیت آمیز از آن اشاره کرد.

1 Thrust chamber

\* نویسنده عهده‌دار مکاتبات: karimaei@ari.ac.ir

حقوق ملوفین به نویسنده‌گان و حقوق ناشر به انتشارات دانشگاه امیرکبیر داده شده است. این مقاله تحت لیسانس آفرینندگی مردمی (Creative Commons License) در دسترس شما قرار گرفته است. برای جزئیات این لیسانس، از آدرس <https://www.creativecommons.org/licenses/by-nc/4.0/legalcode> دیدن فرمائید.



پاکده‌ی و همکاران<sup>۳</sup> [۹] در سال ۲۰۱۹ اثر تجزیه آمونیاک در یک رانشگر تک‌مولفه‌ای هیدرازینی، بر دمای محفظه تجزیه، وزن مولکولی محصولات گازی و غیره مورد بررسی قرار دادند. مطالعات آنها حاکی از این بود که افزایش نرخ تجزیه آمونیاک، منجر به کاهش دما می‌شود.

در مقاله حاضر، محفظه تجزیه یک رانشگر تک‌مولفه‌ای هیدرازینی، در مقیاس دانه‌های تشکیل دهنده بستر کاتالیستی، بصورت عددی مدل‌سازی شده است. و اثر پارامتر ضریب تخلخل بستر کاتالیستی برای قطر میانگین مشخصه دانه‌های کاتالیست با یک فشار ورودی به محفظه مشخص، روی عملکرد محفظه تجزیه مورد بررسی قرار می‌گیرد. از این‌رو شبیه‌سازی‌ها برای چیدمان دانه‌های کاتالیست با ضرایب تخلخل مختلف مختلف انجام گرفته است. سپس اثرات پارامتر مذکور بر روی پارامترهای عملکردی محفظه تجزیه نظیر دبی جرمی، کسر جرمی هیدرازین، بارگذاری بستر، دمای بستر و دمای دیواره بیرونی بستر، سرعت محوری جریان بستر، تغییرات فشار و افت فشار بستر بررسی شده است. مهم‌ترین هدف از انجام این تحقیق، استفاده از روش عددی به منظور پیداکردن درک عمیق‌تری از واکنش کاتالیستی هیدرازینی در محفظه تجزیه یک رانشگر تک‌مولفه‌ای می‌باشد. در بسیاری از تحقیقات پیشین نیز از روش مشابه با تحقیق حاضر استفاده شده است یعنی برای تغییر میزان تخلخل بستر، بجای تغییر اندازه گرانول‌ها، فاصله بین آنها تغییر داده شده است. ژوو<sup>۴</sup> و همکاران [۱۰] و سلیمی و همکاران [۱۱] در سال ۲۰۱۵ ذرات مربع شکل را در دو بعد چیده و برای تغییر ضریب تخلخل، فاصله بین آنها را تغییر دادند. ژوو<sup>۵</sup> و شوان [۱۲] گرانول‌های کروی با ابعاد یکسان را در سه بعد چیده و جهت تغییر ضریب تخلخل، فاصله آنها را از طریق تغییر در چیدمان آنها تغییر داده‌اند. علاوه بر اینها لازم بذکر است که با توجه به فیزیک موضوع، نویسندها مقاله چاره‌ای جز تغییر تخلخل از طریق تغییر فاصله ندارند. دلیل این موضوع نیز وجود ابعاد استاندارد برای ذرات گاما-آلومینا است که پایه تولید گرانول‌های کاتالیست می‌باشد، به نحوی که فلز فعال روی گرانول گاما-آلومینا لایه نشانی می‌شود. بنابراین، اگر اندازه گرانول‌ها تغییر داده شود از واقیت ابعاد استاندارد موجود فاصله گرفته می‌شود. البته گرانول‌های گاما-آلومینا با ابعاد بزرگ‌تر از آنچه در تحقیق حاضر استفاده شده نیز وجود دارد، اما با توجه به دو برابر شدن تقریبی ابعاد آنها، آزادی عمل نویسندها برای تغییر تدریجی ضریب تخلخل بشدت محدود می‌شد. بنابراین، تغییر تخلخل از طریق تغییر در فواصل بین گرانول‌ها بهترین

رانشگر ۲۰ نیوتونی را با در نظر گرفتن دو مسیر مختلف برای انجام واکنش کاتالیستی جهت تولید آمونیاک به عنوان محصول میانی، مورد مطالعه قرار دادند. همچنین موازنۀ انتقال حرارت و بررسی رفتار دمایی رانشگر نیز در این مدل‌سازی مورد توجه قرار گرفت. آن‌ها نتایج حاصل از مدل‌سازی خود را با تحلیل دمای دیواره محفظه تجزیه در مکانهای مشخص، مورد ارزیابی قرار دادند. پاسینی و همکاران [۴] در سال ۲۰۱۰ یک مدل یک بعدی برای شبیه‌سازی تجزیه سوخت پرواکسید هیدروژن در محفظه تجزیه یک رانشگر تک‌مولفه‌ای معرفی کردند. امتیاز مدل آنها در مقایسه با مدل‌های پیشین، کاستن از هزینه‌های محاسباتی (از طریق حذف معادلات انتقال اندازه حرکت و انرژی) و در نظر گرفتن فرآیند تبخیر قطرات داخل بستر می‌باشد. البته لازم به ذکر است که پارامترهایی مانند دمای دیواره محفظه احتراق، اثرات قطر دانه‌های کاتالیستی را در نظر نگرفتند.

چگونگی واکنش‌های شبیه‌سازی در نواحی مختلف بستر کاتالیستی توسط روش‌های مبتنی بر حل معادلات ناویر استوکس نیز مورد مطالعه قرار گرفته است. از این میان می‌توان به تحقیق هو و همکاران<sup>۶</sup> [۵] در سال ۲۰۱۴ و ژنگ و همکاران<sup>۷</sup> [۶] در سال ۲۰۱۶ اشاره کرد. آن‌ها فرآیند تبخیر و تجزیه هیدرازین را با استفاده از مدل دوفازی مخلوط و با در نظر گرفتن انتقال جرم شبیه‌سازی کردند. هر دو نوع واکنش همگن (فاز گاز) و ناهمگن (در حضور کاتالیست) در محاسبات آنها در نظر گرفته شده و پروفیل دمای حالت پایا در طول محفظه تجزیه با داده‌های تجربی مقایسه شده است. نتایج نشان از دقت شبیه‌سازی‌های آنها دارد. جانگ و همکاران<sup>۸</sup> [۷] در سال ۲۰۱۷ مدل پاسینی و همکاران را اصلاح کرده و از آن برای مطالعه پارامتریک یک محفظه تجزیه سوخت پرواکسید هیدروژن استفاده کردند. آن‌ها اثرات اندازه دانه‌های کاتالیست روی نرخ پیشرفت واکنش‌های شبیه‌سازی را وارد مدل کرده و با استفاده از آن مقدار بهینه‌ای برای ظرفیت کاتالیست و افت فشار بدست آوردند. لازم به ذکر است که کمیت ظرفیت کاتالیست از تقسیم دبی جرمی به حجم محفظه تجزیه حاصل می‌شود. سلیمی و کریمایی<sup>۹</sup> [۸] در سال ۲۰۱۸ ایجاد کاتالیزور و بستر کاتالیزوری برای تجزیه هیدرازین در رانشگرهای تک‌مولفه‌ای کمپیشران را بحث نمودند. همچنین مواد تشکیل‌دهنده کاتالیست، روش‌های ساخت کاتالیست و بستر کاتالیست، ملاحظات ساخت و الزامات و همچنین جانمایی آن را مورد بررسی قرار دادند.

3 Pakdehi et.al

4 Zhou

5 Zhu

1 Hou et.al

2 Zhang et.al

- انتقال حرارت ترکیبی در نظر گرفته شده است ولیکن در لایه تحتانی، تنها انتقال حرارت تشعشعی<sup>۳</sup> در نظر گرفته شده است.

- برای کلیه واکنش‌ها از روابط آرنیوس<sup>۴</sup> در شبیه‌سازی استفاده شده است.
- در مقیاس حفره، معادلات ناویر-استوکس در دو بعد برای تحلیل جریان سیال و واکنش‌های شیمیایی در محیط متخلخل مورد استفاده قرار می‌گیرند.

## ۲-۲-۲- معادلات حاکم

مسئله حاضر از دو بخش تشکیل شده است، بخش اول مربوط به تبخیر و گازی‌سازی سوخت بوده که در ناحیه القایی محفظه تجزیه به وقوع می‌پیوندد. در این ناحیه معادله ساده شده انرژی مطابق با تحقیق شنکار و همکاران [۱۳] مورد استفاده قرار گرفته و طول ناحیه به همراه خواص ترمودینامیک گاز در طول آن محاسبه می‌شوند. در بخش دوم بعد از مشخص شدن خواص جریان در انتهای ناحیه القایی، تحلیل تجزیه هیدرازین در فاز گازی روی بستر کاتالیستی انجام می‌شود. شنکار و همکاران [۱۳] برای ناحیه القایی یک معادله انرژی استخراج و درنظر گرفتند. بر مبنای تحقیقات آنها، در طول ناحیه القایی دما بصورت زیر تغییر می‌کند:

$$\frac{dT_g}{dZ} = \left( \frac{\Delta H_r^{N_2H_4} - L^{N_2H_4}}{GC_p} \right) \times A_p P_{vr}^{N_2H_4} \left( \frac{M^{N_2H_4}}{R_u T_g} \right) \times \sqrt{D^{N_2H_4}} A \exp \left[ \frac{\left( -\frac{L^{N_2H_4}}{R_u} \right) + \left( \frac{T_A}{2} \right)}{T_g} \right] \quad (1)$$

تغییرات دما در طول ناحیه القایی بصورت نمایی بوده و ناگهان تا بینهایت افزایش می‌یابد. از این‌رو، طول ناحیه القایی بصورت حدی محاسبه شده و رابطه زیر برای آن معرفی شده است [۱۳]:

عبارت  $RHS$  در رابطه (۳) معرف سمت راست رابطه (۱) می‌باشد که در دمای ورودی سوخت به محفظه تجزیه محاسبه می‌شود. توجه شود که معمولاً طول ناحیه القایی بسیار کم بوده و نسبت به ابعاد محفظه می‌توان از آن صرفنظر کرد. اما، دما و کسر جرمی گونه‌ها در انتهای این ناحیه تأثیر قابل توجهی روی دقت شبیه‌سازی‌ها دارد. دما در انتهای ناحیه القایی با

تصمیم است. این کار از طریق شبیه‌سازی در مقیاس حفره‌ها که از دقت بالایی برخوردار است، انجام شده است. در این راستا اثرات ضریب تخلخل، بر میزان تجزیه هیدرازین و افت فشار و نیز تغییرات دما و سرعت محوری و دبی جرمی و نیز تغییرات دمای دیواره بیرونی بستر کاتالیستی بررسی شده است. همچنین تغییرات دمایی دیواره محفظه تجزیه نیز در شرایط فوق بررسی شده است. شبیه‌سازی مقیاس حفره بستر کاتالیستی، اطلاعات قابل توجهی در رابطه با ناپایداری‌های احتراق و پاسخ زمانی این رانشگرها در مراحل روش و خاموش شدن ارائه می‌دهد. بنابراین در راستای طراحی یک رانشگر قابل اعتماد، لازم است چنین شبیه‌سازی‌هایی انجام شوند. بررسی مقالات و پژوهش‌های انجام گرفته در زمینه مطالعه رفتار محفظه تجزیه رانشگر هیدرازینی، نشان می‌دهد که در تمامی تحقیقات انجام شده، محیط متخلخل، مدل سازی شده است. نوآوری تحقیق حاضر در شبیه‌سازی عددی محفظه تجزیه یک رانشگر تک‌مولفه‌ای هیدرازینی، در مقیاس گرانول‌های تشکیل‌دهنده بستر کاتالیستی (حفره)، است. در شبیه‌سازی در مقیاس حفره، هیچ مدل ساده‌ای وارد نمی‌شود و بنابراین از دقت بالایی برخوردار است.

## ۲- تئوری مسئله و مدل

### ۲-۱- فرضیات مسئله

فرضیات حاکم بر مسئله به صورت زیر است:

- فرض می‌شود که همه گازها در حالت ایده‌آل هستند چون دما در یک رانشگر تک‌مولفه‌ای هیدرازینی بالاست.
- شبیه‌سازی‌ها با در نظر گرفتن تبخیر قطرات سوخت هیدرازین، در ناحیه القایی، توسط مدل شنکار و همکاران [۱۳] انجام می‌شود. بنابراین فرض می‌شود که خارج از ناحیه القایی هیدرازین تنها در فاز گازی وجود دارد.
- از تخلخل داخل دانه‌های کاتالیست صرف نظر شده است. یعنی فرض می‌شود که واکنش‌ها به صورت کاتالیستی فقط روی سطح کاتالیست انجام می‌شود و از واکنش‌های حجمی صرف نظر شده است.
- تنها ۴ گونه شیمیایی هیدرازین و آمونیاک و هیدروژن و نیتروژن در محاسبات در نظر گرفته شده است.
- شبیه‌سازی‌ها بصورت دوبعدی و متقاضی محوری<sup>۱</sup> با لحاظ جریان پایا و در فاز گاز انجام شده است. به همین دلیل شکل هندسی کاتالیست‌ها به صورت چنبره<sup>۲</sup> توپر در نظر گرفته شده است که متفاوت از شکل گرانولی آنهاست.

3 Radiation

4 Arrhenius

1 Axisymmetric

2 Torus

گاز نیز با استفاده از روابط زیر محاسبه شده است [۱۳]:

$$Mw_{Mix} = \frac{1}{\sum Y_i/Mw_i} \quad (7)$$

$$\rho_{Mix} = \frac{Mw_{Mix} P}{R_u T} \quad (8)$$

$$CP_{Mix}(T) = \sum Y_i CP_i(T) \quad (9)$$

$$CV_{Mix}(T) = \sum Y_i CV_i(T) \quad (10)$$

$$\gamma_{Mix}(T) = \frac{CP_{Mix}(T)}{CV_{Mix}(T)} \quad (11)$$

$$\mu_{Mix}(T) = \sum Y_i \mu_i(T) \quad (12)$$

### ۳-۲- شبیه‌سازی عددی

در این پژوهش تجزیه سوخت هیدرازین روی بستر کاتالیستی متخلک از گرانول‌های آلومینا که با فلز فعال ایریدیوم پوشش داده شده‌اند، بصورت عددی مطالعه شده است. طرح واره رانشگر بررسی شده در شکل ۱ مشاهده می‌شود. طول بستر کاتالیستی مورد مطالعه ۲/۴۸ سانتی‌متر بوده و اثرات پارامتر ضریب تخلخل بستر کاتالیستی روی عملکرد محفظه تجزیه نظیر دی‌جرمی، کسر جرمی هیدرازین، بارگذاری بستر، دمای بستر و دمای دیواره بیرونی بستر، سرعت محوری جریان بستر، تغییرات فشار و افت فشار بستر مورد بررسی قرار می‌گیرد. شبیه‌سازی‌ها برای دانه‌های کاتالیست با قطر ۱ میلی‌متر و در سه ضریب تخلخل ۰/۴، ۰/۵۵ و ۰/۶۵ انجام گرفته است. فشار ورودی به محفظه تجزیه نیز برابر ۱۵ بار، در نظر گرفته شده است. پس از تولید هندسه فوق، با استفاده از نرمافزار فلوئنت واکنش تجزیه هیدرازین در مقیاس دانه‌های تشکیل دهنده بستر کاتالیستی شبیه‌سازی گردید. و در نهایت پارامترهای مربوط به بستر کاتالیستی و نیز پارامترهای عملکردی رانشگر مورد مطالعه و تحلیل قرار خواهد گرفت. مشخصات

انتگرال‌گیری عددی از معادله (۱) محاسبه می‌شود. به این ترتیب که طول ناحیه القایی محاسبه شده از رابطه (۲) به فواصل مساوی تقسیم‌بندی شده و معادله (۱) روی این فواصل گسسته‌سازی شده و بصورت عددی حل می‌شود. دما در مقطع ناحیه القایی را دمای القایی می‌نامند که به عنوان شرط اولیه برای دمای گاز در تحلیل بستر کاتالیستی مورد استفاده قرار می‌گیرد. باید توجه داشت که طول منطقه القایی با افزایش مقدار بارگذاری بستر، افزایش می‌یابد و لذا دمای بیشینه نیز افزایش خواهد یافت. بعد از محاسبه دما در انتهای ناحیه القایی، کسر جرمی گونه‌های شیمیایی نیز با استفاده از روابط زیر محاسبه می‌شوند [۱۴]:

$$Z_{Ind} = \left( \frac{1}{RHS} \right) \frac{T_0^2}{L/R_u + T_A/2} \quad (2)$$

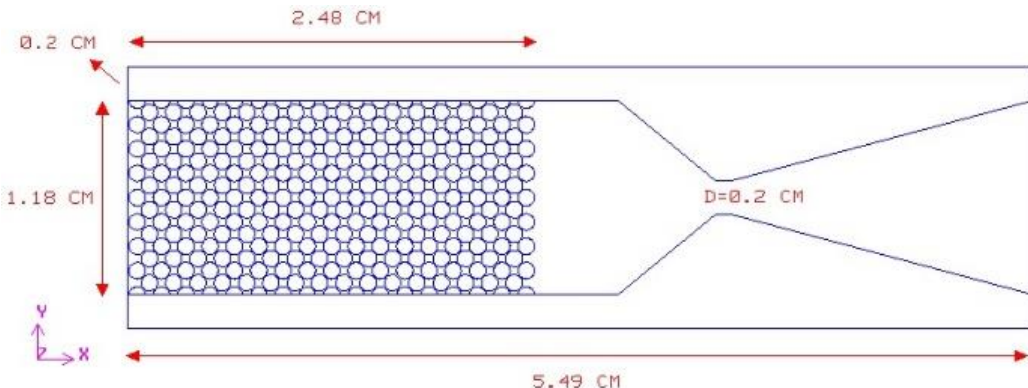
$$Y_g^{N2H4} = 0.87 - 0.0006 T_{Ind} \quad (3)$$

$$Y_g^{NH3} = \left( \frac{M^{NH3}}{M^{N2H4}} \right) (1 - Y_g^{N2H4}) \quad (4)$$

$$Y_g^{N2} = \left( \frac{M^{N2}}{2M^{N2H4}} \right) (1 - Y_g^{N2H4}) \quad (5)$$

$$Y_g^{H2} = \left( \frac{M^{H2}}{2M^{N2H4}} \right) (1 - Y_g^{N2H4}) \quad (6)$$

همانطور که مشاهده می‌شود، بعد از محاسبه کسر جرمی هیدرازین، کسر جرمی سایر گونه‌ها بر مبنای ضرایب استیکیومتری معادلات تجزیه هیدرازین و آمونیاک محاسبه شده‌اند که در مسئله حاضر کسر جرمی هیدرازین برابر ۰/۶۳ و آمونیاک برابر ۰/۱۹ و نیتروژن برابر ۰/۱۵ و نیز هیدروژن برابر ۰/۰۱۰ محاسبه شده است. معادلات حاکم برای منطقه پسا القایی، در طول محفظه تجزیه، برای فشار، دما و نیز تراکم خلل و فرج بین دانه‌های کاتالیست را می‌توان از معادلات بقای انرژی، مومنتوم و جرم برای هر یک از گونه‌ها و معادله حالت برای مخلوط بدست آورد. همچنین، خواص مخلوط



شکل ۱. طرح واره مسئله مورد پژوهش

Fig. 1. Schematic of the problem under study

۱۶۶ هزار می باشد و نوع شبکه بندی ایجاد شده نیز نوع تری-پیو<sup>۳</sup> می باشد. فاصله اولین ردیف لایه مرزی از سطح دانه های کاتالیست ۲ میکرون، با نرخ رشد  $1/3$  و تعداد ۴ ردیف در نظر گرفته شده است. به منظور بررسی تأثیر اندازه و تعداد مش، تعداد مختلفی از مش در ناحیه بستر کاتالیستی، جهت بررسی استقلال از شبکه انتخاب شدند و کسر جرمی هیدرازین و نیز سرعت محوری (مطابق شکل ۲ و شکل ۳) در انتهای بستر کاتالیستی برای ضریب تخلخل  $1/4$  در تعداد مش های مختلف بررسی شدند. نتایج، هنگامی که تعداد مش های بستر، حدود ۱۶۶ هزار بود، تفاوت محسوسی با تعداد مش بیشتر نشان نداد. لذا این تعداد مش برای شبیه سازی در نظر گرفته شد. برای ضرایب تخلخل دیگر هم به همین صورت، حداقل تعداد مش لازم انتخاب گردید.

شکل ۴ هندسه بستر کاتالیستی مورد مطالعه را در سه ضریب تخلخل  $1/4$ ،  $1/5$  و  $1/6$  با قطر دانه های ۱ میلی متر نمایش می دهد. شرایط مرزی در ورودی محفظه تجزیه از نوع ورودی فشار<sup>۴</sup> و در خروجی از قسمت نازل از نوع خروجی فشار<sup>۵</sup> انتخاب شده است. فشار ورودی تنظیم شده در ورودی، ۱۵ بار بوده و کسر جرمی گونه ها نیز بر اساس روابط (۳) تا (۶) محاسبه شده است. همچنین دمای ورودی نیز پس از محاسبه دما در انتهای ناحیه القایی، مقدار  $385/217$  کلوین در نظر گرفته شده است. فشار خروجی در انتهای نازل نیز  $2000$  پاسکال در نظر گرفته می شود. در قسمت دیواره گرانول ها نیز مدل واکنش<sup>۶</sup> در نرم افزار فعال شده است.

هندسه رانشگر و نیز محفظه تجزیه نیز، در جدول ۱ آرائه شده است. هندسه بستر کاتالیستی به این شکل است که قطر دانه ها، در طول بستر کاتالیستی، ثابت در نظر گرفته شده و ضریب تخلخل، تغییر کرده است. به این صورت که، قطر دانه ها  $1$  میلی متر لحاظ شده و ضریب تخلخل بستر  $1/4$ ،  $1/5$ ،  $1/6$  در نظر گرفته شده است. علت انتخاب ضریب تخلخل های یاد شده، محدودیت ابعادی محفظه تجزیه می باشد. تحلیل مقیاس حفره محیط های متخلخل متشکل از گرانول ها در وضعیت دو بعدی یا تقارن محوری با متصل کردن گرانول ها به یکدیگر عملاً غیر ممکن است، زیرا در این حالت مسیر حرکت سیال بسته می شود. عملاً تمامی تحقیقات انجام شده پیشین ([۱۰-۱۲]) روی تحلیل مقیاس حفره محیط متخلخل، از روش مشابهی با تحقیق حاضر بهره برده اند که کاملاً رایج است. بنابراین از آنجا که در تحقیق حاضر، هدف مطالعه بستر متشکل از یک اندازه مشخص از گرانول ها بوده، فاصله آنها نسبت به یکدیگر تغییر داده شده است. تعریف ضریب تخلخل به صورت فرمول (۱۳) است:

$$\epsilon = \frac{(\pi R^2 L) - v}{(\pi R^2 L)} \quad (13)$$

هندسه و مش مسئله حاضر با استفاده از نرم افزار گمبیت<sup>۱</sup> ایجاد شده است. سایز شبکه  $25/837$  میکرومتر بوده و تعداد مش های بستر، حدود

2 Tri-pave

3 Pressure inlet

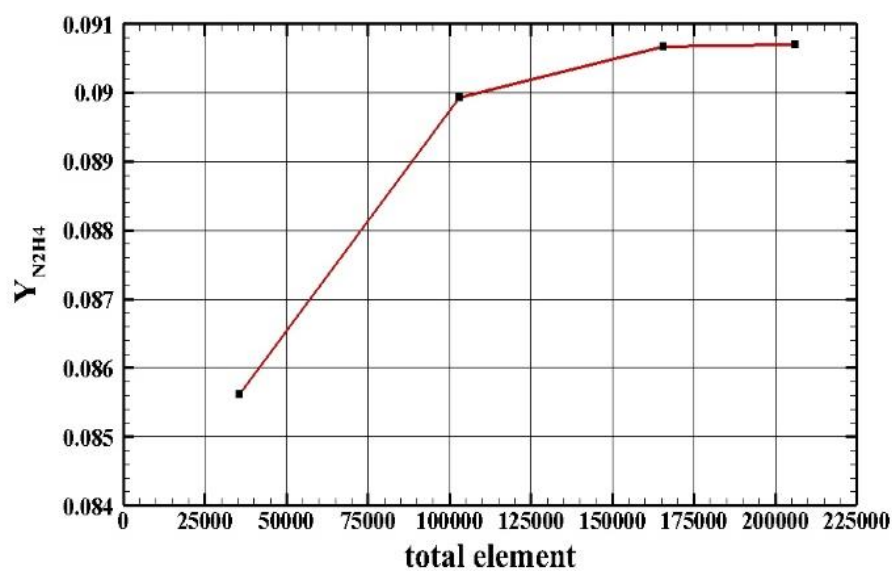
4 Pressure outlet

5 Reaction

### جدول ۱. مشخصات هندسی رانشگر و نیز محفظه تجزیه

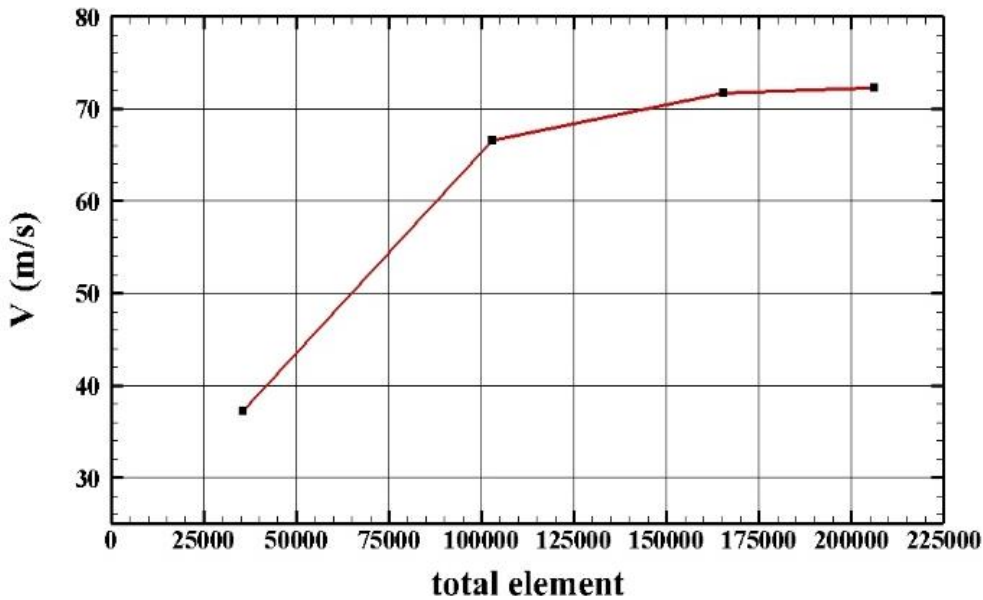
Table 1. Geometric characteristics of the thruster as well as the decomposition chamber

ردیف	كمیت	مقدار	واحد
۱	قطر محفظه تجزیه	۱/۱۸	سانتی متر
۲	قطر گلوبه نازل	۰/۲	سانتی متر
۳	طول محفظه تجزیه	۲/۴۸	سانتی متر
۴	طول رانشگر	۵/۴۹	سانتی متر
۵	فشار ورودی محفظه جزیه	۱۵	بار
۶	ضخامت دیواره	۰/۲	سانتی متر
۷	دماي سوخت در ورودی محفظه	۵۰۰	کلوین
۸	دماي دیواره محفظه جزیه	۳۰۰	کلوین
۹	ضریب تخلخل بستر	۰/۶۵ و ۰/۴۰ و ۰/۵۵	-
۱۰	قطر دانه های کاتالیست	۱	میلی متر



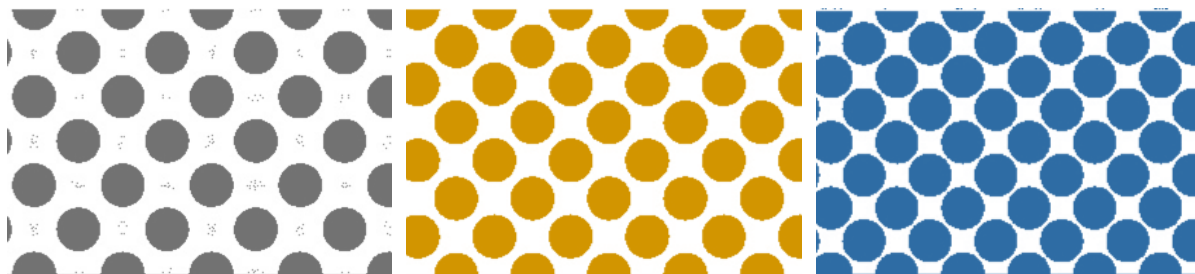
شکل ۲. کسر جرمی هیدرازین در انتهای بستر کاتالیستی برای ضریب تخلخل  $0.4/+$  در تعداد مسنهای مختلف

Fig. 2. Mass fraction of hydrazine at the end of the catalyst bed at a porosity coefficient of 0.4 in the different number of meshes



شکل ۳. سرعت محوری جریان بستر در انتهای کاتالیستی برای خربیپ تخلخل ۰/۴ در تعداد مشهای مختلف

Fig. 3. Axial velocity of the bed flow at the end of the catalyst bed at a porosity coefficient of 0.4 in the different number of meshes



شکل ۴. هندسه بستر ایجاد شده در ضرایب تخلخل (الف) ۰/۰، (ب) ۰/۵۵ و (ج) ۰/۶۵ و با قطر دانه‌های ۱ میلی‌متر

Fig. 4. Bed geometry created at porosity coefficients (a) 0.4, (b) 0.55, (c) 0.65 with a granule diameter of 1 mm

و هیدروژن و نیتروژن می‌باشدند. با توجه به اهمیت بالای لایه مرزی در دیواره گرانول‌ها، از مدل توربولانسی دو معادله‌ای کی-امگا اس اس تی<sup>۴</sup> استفاده شده است. روش حل نیز سیمپل-سی<sup>۵</sup> تعیین شد و روش گستره‌سازی برای فشار از نوع استاندارد<sup>۶</sup> و برای دیگر متغیرها از نوع آپویند مرتبه دوم<sup>۷</sup> انتخاب گردید.

برای محاسبه میدان جریان، از نرمافزار فلوئنت ۱۷/۱ با فرض ورودی گاز در ابتدا استفاده شده است. در تنظیمات نرمافزار، حل گر از نوع فشار مبنا انتخاب گردید و نیز از شرط مرزی تقارن محوری در سطح پایین استفاده شده است. به منظور فعال‌سازی واکنش‌های شیمیایی در بخش گونه‌ها<sup>۸</sup>، واکنش‌های حجمی و نیز سطح دیواره<sup>۹</sup> فعال شده است. گونه‌های انتخاب شده در فاز گازی، شامل ۴ گونه هیدرازین و آمونیاک

4 k-ω SST

5 SimpleC

6 Standard

7 Second-order upwind

1 FLUENT 17.1

2 Species

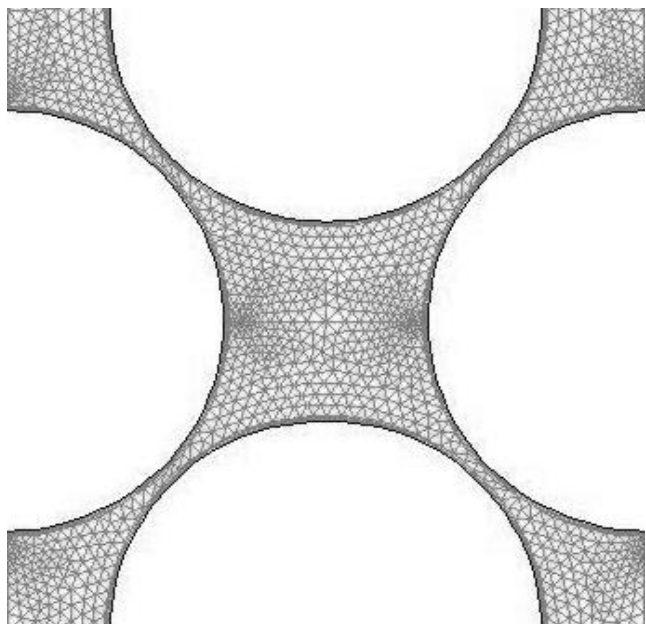
3 Wall surface

گزارش شده در هر مقطع X از طریق متوسطگیری جرمی<sup>۲</sup> مقادیر در جهت محور z استخراج شده‌اند.

اندک اختلاف‌های موجود مشاهده شده بین نتایج حاضر با نتایج هوانگ و همکاران می‌تواند به این دلیل باشد که بستر کاتالیستی درنظر گرفته شده در تحقیقات هوانگ، به عنوان یک محیط متخخلل یک بعدی بوده و در مقیاس خلل و فرج، شبیه‌سازی نشده است. همچنین دمای دیواره محفظه در تحقیق هوانگ نامشخص می‌باشد و در دیواره‌ها فقط انتقال حرارت تشعشعی در نظر گرفته شده است.

### ۳- تحلیل پارامتریک و ارائه نتایج

در این بخش اثرات پارامتر ضریب تخلخل بستر بر پارامترهای عملکردی بستر نظیر کسر جرمی هیدرازین، تغییرات فشار بستر، سرعت محوری، دمای بستر، دبی جرمی، تراست، ضربه ویژه و بارگذاری بستر بررسی می‌شوند. در این خصوص، سه ضریب تخلخل  $0/055$ ،  $0/055$  و  $0/05$  مورد مطالعه قرار گرفته است. قطر دانه‌های کاتالیست نیز با سایز  $1 \times 10^{-5}$  میلی‌متر لحاظ شده‌اند. فشار ورودی نیز برای شبیه‌سازی  $15 \text{ bar}$  لحاظ شده است. تجزیه هیدرازین با توجه به میزان انتقال هیدرازین به دانه‌های کاتالیست کنترل می‌شود زیرا با رسیدن به سطح کاتالیست به سرعت تجزیه می‌شود. کسر جرمی هیدرازین<sup>۳</sup> نیز در طول بستر کاتالیستی بصورت نمایی افت می‌کند. شکل ۷ کسر جرمی هیدرازین در طول بستر کاتالیستی برای دانه‌های با قطر  $1 \text{ milimeter}$  و در ضرایب تخلخل مختلف و فشار ورودی محفظه  $15 \text{ bar}$  را نمایش می‌دهد. شایان ذکر است که، نرخ واکنش تجزیه هیدرازین در این تحقیق، محدود به بخش بسیار نازکی از جداره دانه‌های کاتالیست می‌شود. بنابراین نرخ واکنش‌های شیمیایی در این حالت بسیار بیشتر از نرخ انتقال جرم از جریان سیال به سطح کاتالیست و از سطح کاتالیست به داخل آن می‌باشد. بطوریکه، هیدرازین قبل از اینکه به داخل دانه‌های کاتالیست منتشر شود، کاملاً تجزیه شده و از بین می‌رود. لذا، واکنش تجزیه کاتالیستی هیدرازین در شرایط مطالعه شده در این تحقیق توسط پخش مولکولی (انتقال جرم) کنترل می‌شود. نتایج نشان می‌دهد با افزایش ضریب تخلخل، کسر جرمی هیدرازین کاهش یافته است و تنها در ضریب تخلخل  $0/055$ ، تمامی هیدرازین در طول بستر تجزیه شده است. در حقیقت در ضریب تخلخل‌های بالاتر، در طول بستر کاتالیستی، سطح تماس کاهش یافته و در نتیجه واکنش‌های شیمیایی با نرخ کمتری صورت می‌پذیرند، بنابراین هیدرازین به صورت کامل تجزیه نمی‌شود.



شکل ۵. شبکه محاسباتی پیرامون دانه‌های کاتالیست با سایز  $25/837 \times 10^{-5}$  میکرومتر

Fig. 5. Computational domain around catalyst granules with size  $2.5837 \times 10^{-5}$

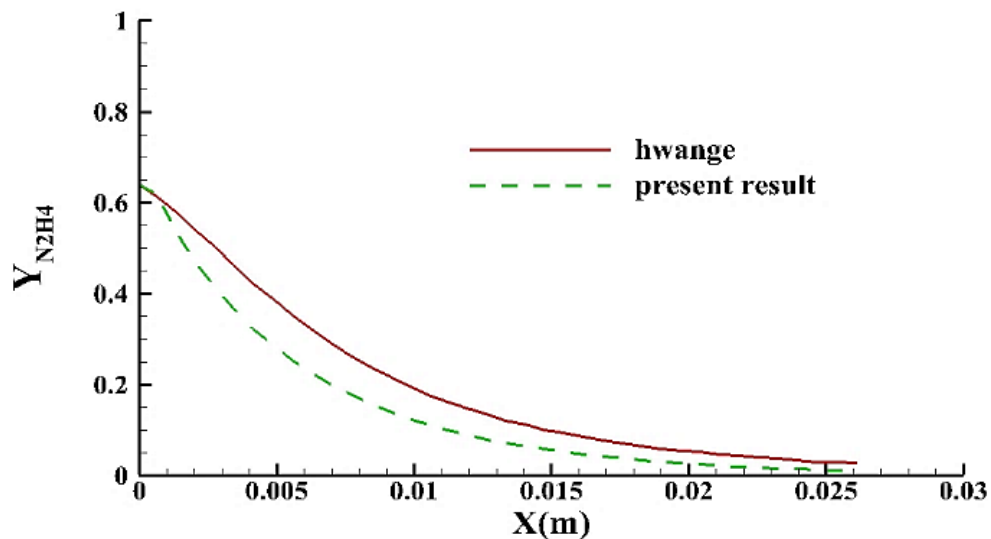
شکل ۵ نمایی از شبکه محاسباتی ایجاد شده پیرامون دانه‌های کاتالیست را نمایش می‌دهد. با توجه به اینکه در مجاورت سطح دانه‌های کاتالیست، واکنش‌های شیمیایی بوقوع می‌پیوندند، از شبکه با سازمان، و تراکم بالا استفاده شده است. به منظور صحت سنجی<sup>۴</sup>، در این بخش نتایج بدست آمده از روش عددی کار حاضر با نتایج حل عددی هوانگ و همکاران [۱۴] مقایسه شده است.

بستر کاتالیستی در شبیه‌سازی‌های هوانگ و همکاران، شامل دو بخش بالادرست (دانه‌های کوچک) و پایین درست (دانه‌های بزرگ) می‌شود و با تغییر سایز دانه‌ها و نیز ضریب تخلخل هر بخش اثرات تخریب شدن دانه‌های بستر کاتالیستی روی عملکرد بستر یک رانشگر هیدرازینی را مطالعه کردند. برای بررسی صحت شبیه‌سازی‌ها، نتایج تحقیق ایشان در حالتی که قطر دانه‌ها در هر دو بخش  $1 \text{ milimeter}$  و ضریب تخلخل نیز  $0/055$  می‌باشد و هیچگونه تخریبی در بستر ایجاد نشده، درنظر گرفته شده است. محفظه تجزیه تحلیل شده توسط آنها دارای طول  $2/6$  سانتی‌متر و قطر  $5/6$  میلی‌متر بود. رانشگر آنها دارای دبی  $2/06 \text{ grom per second}$  و قطر دانه و تخلخل به ترتیب  $1 \text{ milimeter}$  و  $0/055$  بود. نتایج مربوط به کسر جرمی گونه‌های هیدرازین در شکل ۶ با نتایج عددی هوانگ و همکاران [۱۵] مقایسه شده است. در این نمودار مطابقت خوبی بین نتایج مشاهده می‌شود. لازم ذکر است که کسر جرمی

2 Mass Weighted Averaged

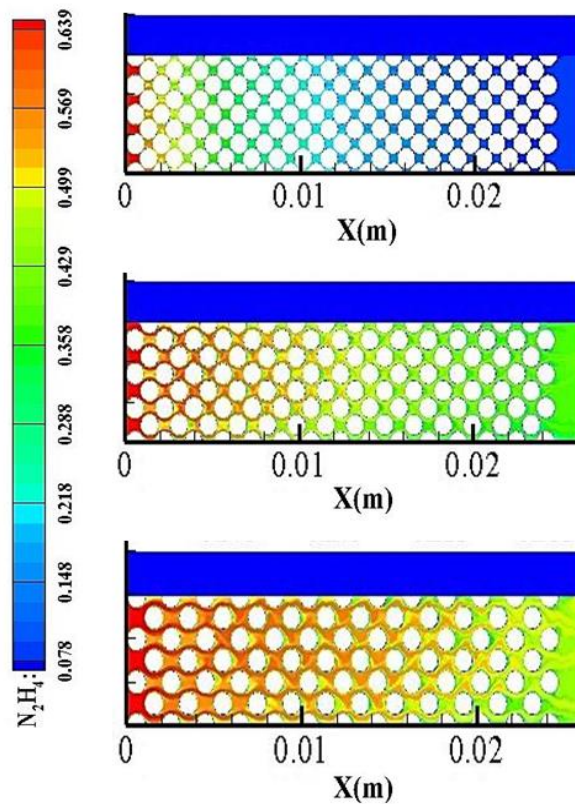
3 N2H4 mass fraction

1 Validation



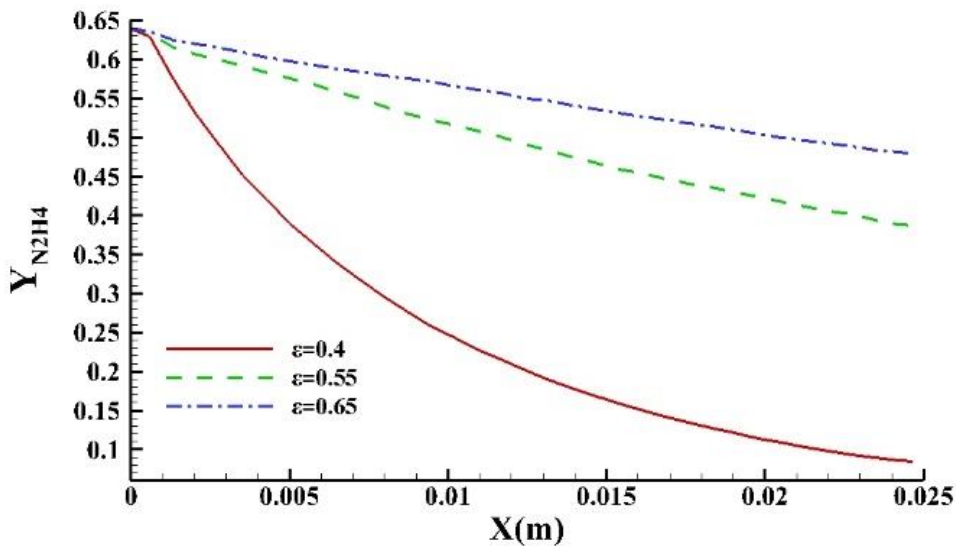
شکل ۶. مقایسه پروفیل کسر جرمی هیدرازین در طول بستر کاتالیست (تحقیق حاضر) با نتایج هوانگ و همکاران [۱۱]

Fig. 6. Comparison of hydrazine mass fraction profiles along the catalyst bed (present study) with the results of Hwang et al. [11]



شکل ۷. کسر جرمی هیدرازین، دانه‌های با قطر ۱ میلی‌متر در ضریب تخلخل ۰/۰۵۵ و ۰/۰۶۵ و ۰/۰۴ (از بالا به پایین) و فشار ورودی ۱۵ بار

Fig. 7. Mass fraction of hydrazine, granules with a diameter of 1 mm at porosity coefficients of 0.4, 0.55 and 0.65 (from up to down) and inlet pressure 15 bar



شکل ۸. کسر جرمی هیدرازین، دانه‌های با قطر ۱ میلی‌متر و ضرایب تخلخل متفاوت و فشار ورودی محفظه ۱۵ بار

Fig. 8. Mass fraction of hydrazine, granules with a diameter of 1 mm and different porosity coefficients and chamber inlet pressure 15 bar

می‌باشد. البته با توجه به این موضوع که گازهای هیدروژن و نیتروژن تولیدی به سرعت و با حجم زیاد تولید می‌شوند. بدین ترتیب فشار را در داخل محفظه تجزیه رانشگر بالا می‌برند. تقابل این دو عامل فشاری (افت فشار بستر کاتالیستی و گاز پرفشار تولیدی) منجر به این رفتار پروفیل فشار می‌گردد. افزایش افت فشار از میان بستر کاتالیستی اثرات نامطلوبی در عملکرد یک رانشگر تکمولفه‌ای هیدرازینی خواهد داشت. به دلیل افت فشار، دانه‌های کاتالیستی که در انتهای بستر کاتالیستی واقع شده‌اند از لحاظ مکانیکی دچار خرد شدگی می‌شوند که این موضوع باعث کاهش عمر کاری رانشگر خواهد گردید. به این دلیل است که در رانشگرهای بستر کاتالیستی، دوبخشی طراحی می‌شود تا بدون اینکه واکنش‌پذیری بستر دچار کاهش شود، افت فشار به طور قابل توجهی کاهش پیدا کند. برای محاسبه افت فشار در محفظه از رابطه (۱۴) می‌توان استفاده کرد:

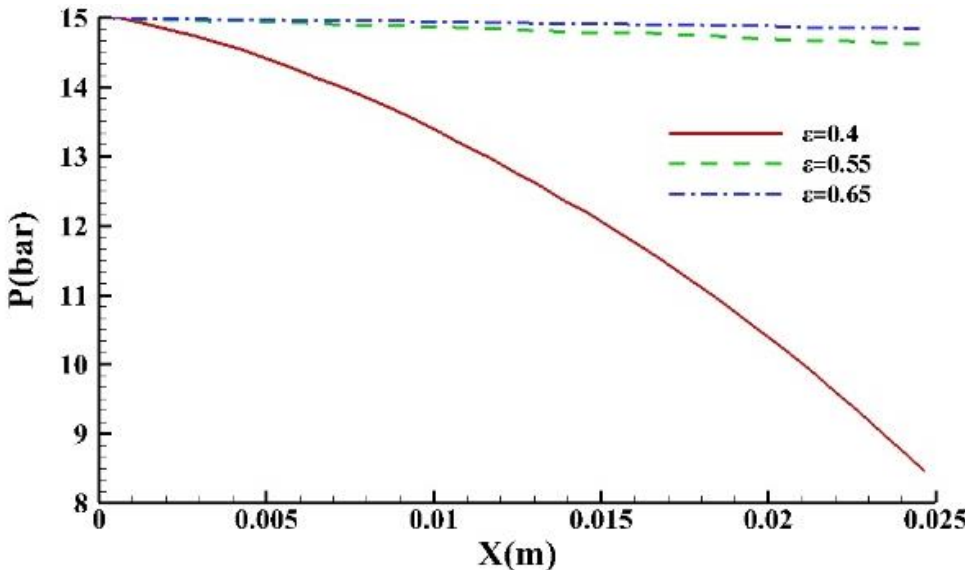
$$\frac{dP}{dZ} = \mu_{Mix} \left[ \frac{180(1-\varepsilon)^2}{\varepsilon^3 dp^2} \right] \left( \frac{G}{\rho_{Mix}} \right) + \rho_{Mix} \left[ \frac{4(1-\varepsilon)}{\varepsilon^3 dp} \right] \left( \frac{G}{\rho_{Mix}} \right)^2 \quad (14)$$

در شکل ۸ مقایسه کمی پروفیل‌های کسر جرمی هیدرازین برای دانه‌های کاتالیست با قطر ۱ میلی‌متر در طول بستر را در ضرایب تخلخل متفاوت و فشار ورودی محفظه ۱۵ بار، نشان می‌دهد. مقادیر کسر جرمی در هر مقطع X از طریق متوسطگیری جرمی در راستای محور  $\text{y}$  حاصل شده‌اند. نتایج، کاهش فاحش کسر جرمی هیدرازین را با کاهش ضریب تخلخل نشان می‌دهد.

شکل ۹ مقایسه کمی پروفیل‌های تغییرات فشار برای دانه‌های کاتالیست با قطر ۱ میلی‌متر در طول بستر را در ضرایب تخلخل متفاوت و فشار ورودی محفوظه ۱۵ بار، نشان می‌دهد. مقادیر فشار گزارش شده در هر مقطع X این نمودار، از طریق متوسطگیری سطحی<sup>۱</sup> در راستای محور  $\text{y}$  بدست آمده‌اند. با فرض ثابت بودن قطر دانه‌های کاتالیست، کاهش میزان ضریب تخلخل، باعث افت فشار بیشتر در انتهای بستر خواهد گردید که دلیل آن نیز کاهش نفوذپذیری<sup>۲</sup> بستر کاتالیستی می‌باشد. با کاهش ضریب تخلخل، به دلیل افزایش مقاومت محیط متخلف، نفوذپذیری بستر کاهش می‌یابد که به تبع آن افت فشار افزایش می‌یابد. زیرا گرانول‌های بستر کاتالیستی نظری موائع عمل می‌کنند. با توجه به ضریب تخلخل بستر، میزان افت فشار متفاوت

1 Area Weighted Average

2 Permeability



شکل ۹. تغییرات فشار، دانه‌های با قطر ۱ میلی‌متر و ضرایب تخلخل متفاوت و فشار ورودی محفظه ۱۵ بار

Fig. 9. Pressure changes, granules with a diameter of 1 mm and different porosity coefficients and chamber inlet pressure 15 bar

نازل، کاهش یافته است. بنابراین مشخص می‌شود که با فرض ثابت بودن قطر دانه‌های کاتالیست و نیز فشار ورودی، افزایش ضریب تخلخل، به دلیل دمای کمتر محفظه تجزیه، باعث کاهش سرعت محوری خواهد شد.

جدول ۳ تغییرات دبی جرمی را برای بستر با قطر دانه‌های ۱ میلی‌متر و ضرایب تخلخل مختلف با فشار ورودی ۱۵ بار را نشان می‌دهد. در طول بستر کاتالیستی، با کاهش ضریب تخلخل، به دلیل افت فشار بیشتر، سرعت محلی افزایش بیشتری داشته است. ولیکن دبی جرمی، کمتر افزایش یافته است که این امر طبیعی است، زیرا وقتی افت فشار در طول بستر کاتالیستی افزایش یابد، با تبع دبی کمتری از آنجا عبور خواهد کرد. با افزایش ضریب تخلخل و درنتیجه کاهش افت فشار، دبی جرمی رشد بیشتری داشته است. بنابراین با کاهش ضریب تخلخل، می‌توان انتظار داشت که مصرف سوخت رانشگر کاهش یابد.

بارگذاری بستر<sup>۱</sup> از پارامترهای مهم برای طراحی محفظه تجزیه می‌باشد. با افزایش بارگذاری بستر طول ناحیه القایی افزایش یافته و در ورودی ناحیه پسا القایی، دمای مخلوط گازی نیز افزایش می‌یابد. همچنین با افزایش این پارامتر، میزان بیشینه دما نیز کمی از ورودی محفظه تجزیه دور می‌شود. رابطه (۱۵) [۱۴] معرف کمیت بارگذاری بستر می‌باشد.

جدول ۲ تغییرات افت فشار برای دانه‌های کاتالیست با قطر ۱ میلی‌متر در انتهای بستر کاتالیستی را در ضرایب تخلخل متفاوت و نیز فشار ورودی ۱۵ بار، نشان می‌دهد. نتایج نشان داد با افزایش ضریب تخلخل، افت فشار به دلیل افزایش نفوذپذیری، به شدت کاهش پیدا می‌کند.

سرعت محوری جریان در بستر کاتالیستی پارامتر مهمی بوده و در انتقال جرم تاثیرگذار می‌باشد. تجزیه هیدرازین سبب افزایش قابل توجهی در سرعت گاز در بستر کاتالیستی نمی‌شود. دلیل این موضوع وجود موانع (دانه‌ها) در بستر متخلخل می‌باشد که مانع از افزایش شدید سرعت می‌شود. ولیکن در طول بستر محفظه تجزیه در ضریب تخلخل کمتر، به دلیل افت فشار بیشتر، سرعت محلی افزایش بیشتری دارد. ضمن اینکه به دلیل تجزیه کامل هیدرازین در طول بستر و افزایش دمای حاصل از آن، سرعت در انتهای نازل افزایش بیشتری دارد. با افزایش ضریب تخلخل و درنتیجه کاهش افت فشار، سرعت محلی، کمتر افزایش یافته است. همچنین به دلیل اینکه هیدرازین کامل تجزیه نشده است، دما کمتر بوده و سرعت در انتهای نازل، کمتر افزایش یافته است. در شکل ۱۰ مقایسه پروفیل‌های متوسطگیری شده جرمی سرعت محوری بستر با دانه‌های کاتالیست با قطر ۱ میلی‌متر در ضرایب تخلخل مختلف و فشار ورودی محفظه ۱۵ بار انجام شده است. مشاهده می‌شود که با افزایش ضریب تخلخل، و افت فشار کمتر و کاهش دمای محفوظه تجزیه، سرعت در انتهای بستر کاتالیستی و نیز انتهای

1 Bed loading (G)

جدول ۳. تغییرات دبی جرمی (kg/s) بستر کاتالیستی با سایز گرانول‌ها به قطر یک میلی‌متر و در ضرایب تخلخل مختلف و فشار ورودی ۱۵ بار

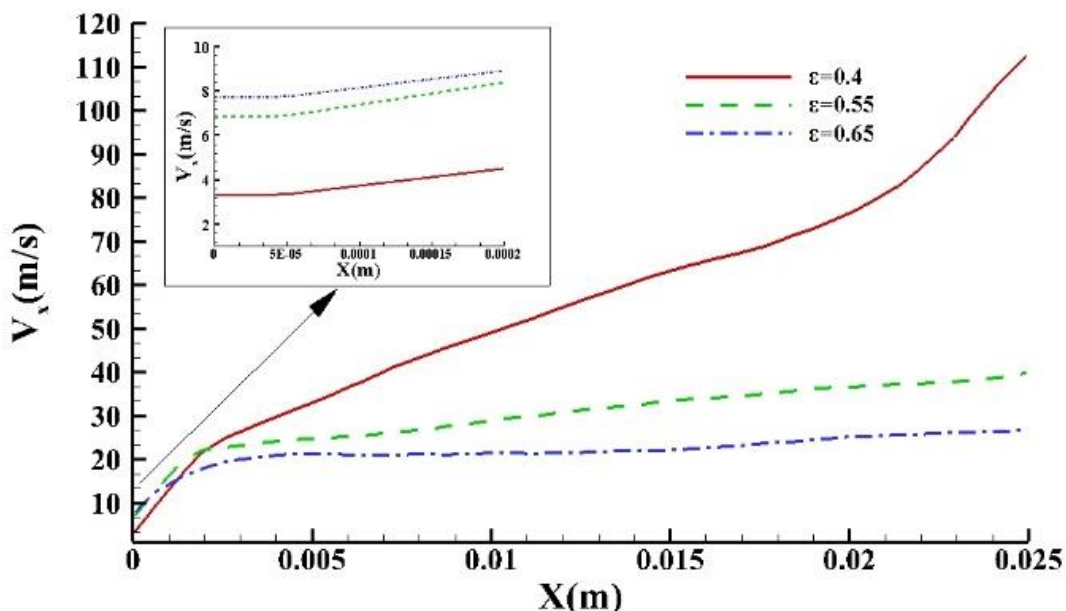
Table 3. Changes in mass flow rate (kg/s) of catalyst bed with granule size of 1 mm and at different porosity coefficients and inlet pressure 15 bar

دبی جرمی	ضریب تخلخل
۰/۰۰۰۲	۰/۴
۰/۰۰۰۴۶	۰/۵۵
۰/۰۰۰۵۲	۰/۶۵

جدول ۲. افت فشار (بر حسب بار) در انتهای بستر کاتالیستی با سایز گرانول‌ها به قطر ۱ میلی‌متر و در ضرایب تخلخل مختلف و فشار ورودی ۱۵ بار

Table 2. Pressure drop (bar) at the end of the catalyst bed with the size of granules 1 mm and at different porosity coefficients and inlet pressure 15 bar

ضریب تخلخل	فشار در انتهای بستر کاتالیستی	افت فشار
۰/۴	۸/۶	۶/۴
۰/۵۵	۱۴/۶	۰/۴
۰/۶۵	۱۴/۸	۰/۶۵



شکل ۱۰. تغییرات سرعت محوری، دانه‌های با قطر ۱ میلی‌متر و ضرایب تخلخل متفاوت و فشار ورودی محفظه ۱۵ بار

Fig. 10. Axial velocity changes, granules with a diameter of 1 mm and different porosity coefficients and chamber inlet pressure of 15 bar

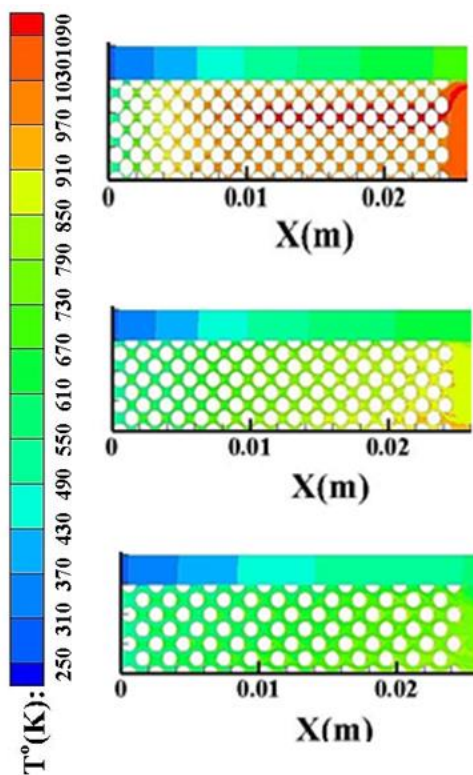
می‌دهد. با افزایش ضریب تخلخل، دبی جرمی، به دلیل افت فشار کمتر،

افزایش یافته و در نتیجه بارگذاری بستر نیز افزایش می‌یابد. در فرآیند تجزیه کاتالیستی هیدرازین در یک رانشگر تک‌مولفه‌ای، در

ابتداً محفظه تجزیه، گرمای حاصل از تجزیه هیدرازین بیشتر از تجزیه آمونیاک است و بنابراین واکنش، گرمای خواهد بود. لذا تا زمانی که تجزیه گرمائی آمونیاک واکنش را کنترل کند، دما افزایش می‌یابد. و بعد از آن دما در منطقه تحت سلطه تجزیه آمونیاک کاهش خواهد یافت. شکل ۱۱ تغییرات دمای بستر در طول بستر کاتالیستی در ضرایب تخلخل مختلف را نمایش می‌دهد. همانطور که مشاهده می‌شود در ضریب تخلخل ۰/۴، دما

$$\dot{G} = \frac{\dot{m}}{A} \quad (15)$$

که A برابر مساحت مقطع عرضی محفظه تجزیه، می‌باشد. با توجه به رابطه فوق مفهوم آن میزان گذر دبی جرمی از سطح مقطع عرضی محفظه تجزیه است پس طبیعی است که منحنی بارگذاری بستر، رفتاری مشابه با دبی جرمی داشته باشد. جدول ۴ تغییرات بارگذاری بستر، با قطر دانه‌های ۱ میلی‌متر و ضرایب تخلخل مختلف و فشار ورودی محفظه ۱۵ بار را نشان



شکل ۱۱. تغییرات دمای بستر با دانه‌های با قطر ۱ میلی‌متر در ضرایب تخلخل ۰/۴، ۰/۵۵ و ۰/۶۵ (از بالا به پایین) و فشار ورودی محفظه ۱۵ بار

**Fig. 11. Changes in bed temperature, granules with a diameter of 1 mm at porosity coefficients of 0.4, 0.55 and 0.65 (from up to down) and chamber inlet pressure 15 bar**

نتیجه آن، آزادسازی سریعتر انرژی و گرادیان دمای بالاتر است. با افزایش ضریب تخلخل، نرخ تجزیه هیدرازین کاهش یافته و افزایش دما با سرعت کمتری انجام می‌شود. لذا با افزایش ضریب تخلخل، دمای بیشینه انتهای بستر، کاهش می‌یابد.

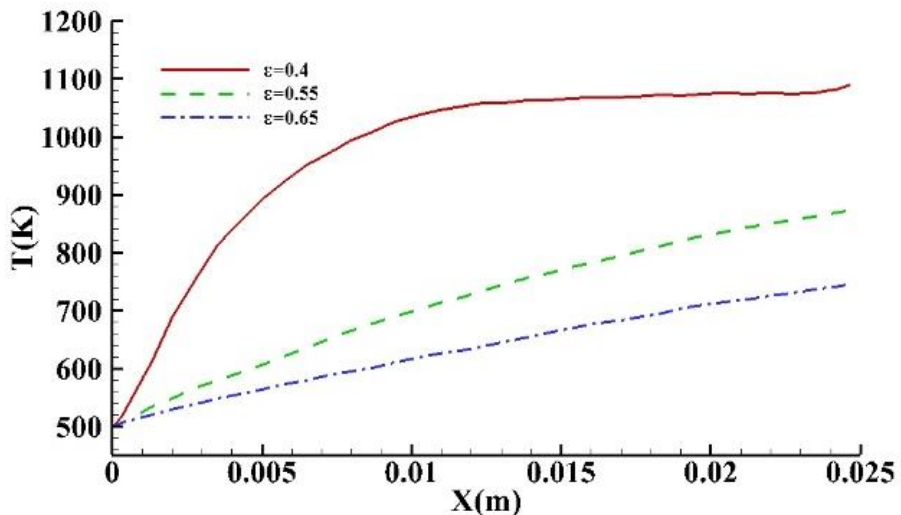
**جدول ۴. تغییرات بارگذاری بستر (بر حسب)، با دانه‌بندی سایز ۱ میلی‌متر و ضرایب تخلخل مختلف و فشار ورودی محفظه ۱۵ بار**

**Table 4. Changes in bed loading ( $\text{kg}/\text{m}^2$ ), with granule size of 1 mm and different porosity coefficients and chamber inlet pressure 15 bar**

بارگذاری بستر	ضریب تخلخل
۱۹/۲	۰/۴
۴۲/۱	۰/۵۵
۴۸/۲	۰/۶۵

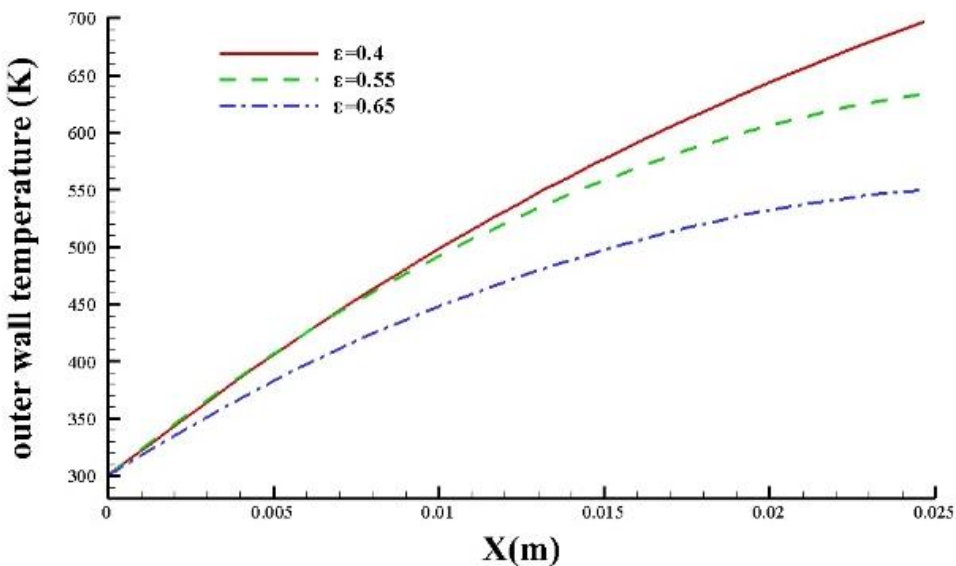
افزایش بیشتری داشته است. دلیل این موضوع افزایش سطح تماس، با کمتر شدن ضریب تخلخل می‌باشد. این موضوع با توجه به ماهیت کاتالیستی واکنش تجزیه هیدرازین، باعث افزایش سرعت تجزیه این ماده می‌گردد. بنابراین با افزایش سطح تماس، میزان سوخت مصرفی افزایش می‌یابد که نتیجه آن، آزادسازی سریعتر انرژی و گرادیان دمای بالاتر است. با افزایش ضریب تخلخل، نرخ تجزیه هیدرازین کاهش یافته و افزایش دما با سرعت کمتری انجام می‌شود.

شکل ۱۲ مقایسه پروفیل‌های متوسطگیری شده جرمی دما با قطر دانه‌های ۱ میلی‌متر و ضرایب تخلخل مختلف و نیز فشار ورودی محفظه ۰/۱۵ بار را نشان می‌دهد. همانطور مشاهده می‌شود در ضریب تخلخل ۰/۴ دما افزایش بیشتری داشته است. دلیل این موضوع افزایش سطح تماس، با کمتر شدن ضریب تخلخل می‌باشد. این موضوع با توجه به ماهیت کاتالیستی واکنش تجزیه هیدرازین، باعث افزایش سرعت تجزیه این ماده می‌گردد. بنابراین با افزایش سطح تماس، میزان سوخت مصرفی افزایش می‌یابد که



شکل ۱۲. تغییرات دمای بستر با دانه‌های با قطر ۱ میلی‌متر و ضرایب تخلخل متفاوت و فشار ورودی محفظه ۱۵ بار

Fig. 12. Bed temperature changes, granules with a diameter of 1 mm and different porosity coefficients and chamber inlet pressure 15 bar



شکل ۱۳. تغییرات دمای دیواره بیرونی بستر با دانه‌های با قطر ۱ میلی‌متر و ضرایب تخلخل متفاوت و فشار ورودی محفظه ۱۵ بار

Fig. 13. Changes in the temperature of the outer wall of the bed, granules with a diameter of 1 mm and different porosity coefficients and inlet pressure of the chamber 15 bar

شکل ۱۳ تغییرات دمای دیواره بیرونی، برای بستر با دانه‌های با قطر ۱ میلی‌متر و در ضرایب تخلخل مختلف و نیز فشار ورودی محفظه ۱۵ بار نشان داده شده است. همانطور که در بخش مربوط به بررسی دمای محفوظه تجزیه اشاره شد، در ضریب تخلخل کمتر به دلیل تجزیه کامل هیدرازین، دما بالاتر رفته و در نتیجه دمای دیواره بیرونی نیز افزایش یافته است.

از آنجایی که در رانشگرهای تک‌مولفه‌ای هیدرازینی به طور معمول هیچگونه خنک‌کاری انجام نمی‌شود، لذا می‌بایست رانشگر به صورتی طراحی شود که میزان گرمای انتقال یافته به قسمت‌هایی که هیدرازین در آن بصورت راکد می‌باشد، جلوگیری شود [۱۶]. بنابراین جهت طراحی سازه رانشگر، تعیین ضخامت و جنس دیواره بسیار مهم می‌باشد. به این منظور نیاز به تعیین دمای بیرونی دیواره در طول رانشگر می‌باشد. در

#### ۴- نتیجه‌گیری

در این مقاله، تجزیه سوخت هیدرایزن روی بستر کاتالیستی مشکل از گرانولهای آلومنیا که با فلز فعال ایریدیوم پوشش داده شده‌اند در یک رانشگر تک‌مولفه‌ای، از طریق شبیه‌سازی در مقیاس حفره‌ها، تحلیل گردید. سپس مطالعه مهمترین پارامتر مربوط به بستر کاتالیستی یعنی ضربی تخلخل بستر بر روی پارامترهای عملکردی بستر نظری دبی جرمی، کسر جرمی هیدرایزن، بارگذاری بستر، دمای بستر و دمای دیواره بیرونی بستر، سرعت محوری جریان بستر، تغییرات فشار و افت فشار بستر، انجام گردید. طول بستر کاتالیستی مورد مطالعه ۲/۴۸ سانتی‌متر بوده و شبیه‌سازی‌ها برای دانه‌های کاتالیست با قطر ۱ میلی‌متر در سه ضربی تخلخل ۰/۴، ۰/۵۵، ۰/۶۵ انجام گرفته است و فشار ورودی محفظه نیز ۱۵ بار لحاظ شده است. نتایج نشان داد که:

- با کاهش ضربی تخلخل، سطح تماس مؤثر برای انجام واکنش‌های شیمیایی افزایش می‌یابد که این موضوع، منجر به افزایش تجزیه هیدرایزن شده، و سبب بهبود عملکرد بستر کاتالیستی خواهد شد. همچنین به دلیل افزایش مقاومت محیط متخلخل و نیز کاهش نفوذپذیری، منجر به افزایش تغییرات فشار در محفظه تجزیه خواهد شد.

- کاهش ضربی تخلخل بستر کاتالیستی، به دلیل ایجاد دمای بیشتر در محفظه تجزیه، منجر به افزایش بیشتر سرعت جریان در انتهای بستر کاتالیستی می‌شود. لذا به منظور ایجاد بیشترین سرعت در انتهای محفظه تجزیه، می‌بایست ضربی تخلخل را کاهش داد. کاهش ضربی تخلخل، به دلیل ایجاد افت فشار بیشتر در طول بستر کاتالیستی، باعث کاهش دبی جرمی نیز می‌شود که به تبع آن سبب افزایش زمان ماند و در نهایت افزایش تجزیه هیدرایزن و افزایش دما خواهد شد.

- در ضربی تخلخل کمتر به دلیل کاهش دبی جرمی، بارگذاری بستر نیز کاهش خواهد یافت. بیشترین میزان دما در انتهای بستر در ضرایب تخلخل کوچکتر ایجاد می‌گردد که دلیل آن نیز افزایش سطح تماس و در پی آن افزایش سرعت تجزیه هیدرایزن می‌باشد. این عوامل باعث آزادسازی سریع‌تر انرژی و گرادیان دمای بالاتر می‌گردد.

- سرعت محوری در انتهای بستر کاتالیستی متأثر از دما در انتهای بستر می‌باشد. شایان ذکر است در ضربی تخلخل کمتر، به دلیل تجزیه بیشتر هیدرایزن، دما در انتهای بستر کاتالیستی نیز افزایش بیشتری می‌یابد. همچنین به دلیل گرادیان دمای بالاتر، دمای دیواره بیرونی افزایش بیشتری می‌یابد.

[K]	$T_g$	دمای گاز
[m]	$Z$	موقعیت در طول محفظه تجزیه
[J/kg]	$\Delta H_r^{N,H_t}$	آنالپی واکنش تجزیه هیدرایزن
[J/kg]	$L^{N,H_t}$	گرمای نهان تبخیر هیدرایزن
[kg/m³s]	$G$	بارگذاری بستر
[J/(kg.K)]	$C_P$	ظرفیت حرارتی
[m³ / m³]	$A_P$	سطح مؤثر گرانولهای کاتالیست
[Pa]	$P_{vr}^{N,H_t}$	فشار بخار هیدرایزن
[kmol/kg]	$M^{N,H_t}$	جرم مولکولی هیدرایزن
[kJ/(kmol K)]	$R_u$	ثابت جهانی گاز
[m³/s]	$D^{N,H_t}$	پخش جرمی هیدرایزن
-	$A$	ضریب نرخ واکنش هیدرایزن در رابطه آرنیوس
[K]	$T_A$	دمای فعال‌سازی واکنش
[m]	$Z_{Ind}$	طول ناحیه القای
[K]	$T_.$	دمای ورودی سوخت به محفظه تجزیه
[K]	$T_{Ind}$	دمای القای
-	$Y_g^{NH_t}$	کسر جرمی هیدرایزن
-	$Y_g^{NH_2}$	کسر جرمی آمونیاک
-	$Y_g^{N_2}$	کسر جرمی نیتروژن
-	$Y_g^{H_2}$	کسر جرمی هیدروژن
[J/(kg.K)]	$CP_{Mix}(T)$	ظرفیت گرمایی ویژه مخلوط گاز در فشار ثابت
[J/(kg.K)]	$CV_{Mix}(T)$	ظرفیت گرمایی ویژه مخلوط گاز در حجم ثابت
[kmol/kg]	$Mw_{Mix}$	جرم مولکولی مخلوط گاز
[kg/m³]	$\rho_{Mix}$	دانسیته مخلوط گاز
-	$\gamma_{Mix}(T)$	نسبت ظرفیت گرمایی ویژه مخلوط گاز
[kg/m.s]	$\mu_{Mix}(T)$	لزجت مخلوط گاز
-	$\varepsilon$	ضریب تخلخل بستر

## منابع

- [9] S. Pakdehi, F. Shirvani, R. Zolfaghari, A thermodynamic study on catalytic decomposition of hydrazine in a space thruster. *Archives of Thermodynamics*, 40(4) (2019) 151-166.
- [10] L. Zhou, Z.G. Qu, L. Chen, W.Q. Tao, Lattice Boltzmann simulation of gas–solid adsorption processes at pore scale level. *Journal of Computational Physics*, 300(4) (2015) 800-813.
- [11] M.R. Salimi, M. Taeibi Rahni, F. Jam, Pore-scale simulation of fluid flow passing over a porously covered square cylinder located at the middle of a channel, using a hybrid MRT-LBM–FVM approach. *Theoretical and Computational Fluid Dynamics*, 29(3) (2015) 171-191.
- [12] Q. Zhu, Y. Xuan, Pore scale numerical simulation of heat transfer and flow in porous volumetric solar receivers. *Applied Thermal Engineering*, 120(1) (2017) 150-159.
- [13] V. Shankar, A.K. Ram, K.A. Bhaskaran, Prediction of the Concentration of Hydrazine Decomposition Products Along a Granular Catalytic Bed. *Acta Astronautica*, 11(6) (1984) 287–299.
- [14] CH. Hwang, SN. Lee, SW. Baek, CY. Han, SK. Kim, MJ. Yu, Effects of catalyst bed failure on thermo chemical phenomena for a hydrazine monopropellant thruster using Ir/Al<sub>2</sub>O<sub>3</sub> catalysts. *Ind Eng Chem Res.*, 51(15) (2012) 5382–5393.
- [15] CH. Hwang, SW. Baek, SJ. Cho, Experimental investigation of decomposition and evaporation characteristics of HAN-based monopropellants. *Combust Flame*, 161(4) (2014) 1109–1116.
- [16] Z.G. Gao, G.X. Li, T. Zhang, X.H. Liu, Z.H. Wang, X. Liu, Numerical simulation for the decomposition of DT-3 in a monopropellant thruster, *Aerospace Science and Technology*. 74(1) (2018) 132-144
- [1] A.S. Kersten, Analytical and experimental studies of the transient behaviour of catalytic reactor for hydrazine decomposition, UARL Contract NAS 7-458 , 1969.
- [2] A. Crespo, Steady state Analysis of Hydrazine Catalytic Thrusters for Different Types of Catalysts, Instituto Nacional de Tecnica Aeroespacial Madrid (Spain), 1976.
- [3] G. Schulz-Ekloff, HG. Deppner, Modelling and simulation of monopropellant hydrazine thrusters for spacecraft position control. *Chemical engineering & technology*, 12(1) (1989) 426-32.
- [4] A. Pasini, L. Torre, L. Romeo, A. Cervone, L. d'Agostino, Reduced-Order Model for H<sub>2</sub>O<sub>2</sub> Catalytic Reactor Performance Analysis. *Journal of Propulsion and Power*, 26(3) (2010) 446-453.
- [5] B. Hou, X. Wang, T. Li, and T. Zhang, Steady-State Behavior of Liquid Fuel Hydrazine Decomposition in Packed Bed, *AIChE Journal*, 61(3) (2014) 1064-1080.
- [6] T. Zhang, G. Li, Y. Yu, J. Chen, M. Wang, Effects of catalytic bed thermal characteristics on liquid monopropellant decomposition and combustion characteristics within an eco-friendly thruster based on ammonium dinitramide. *Combustion Science and Technology*, 188(6) (2016) 910-923.
- [7] S. Jung, S. Choi, S. Kwon, Design Optimization of Green Monopropellant Thruster Catalyst Beds Using Catalytic Decomposition Modeling, 53rd AIAA/SAE/ASEE Joint Propulsion Conference, 2017, Atlanta, GA.
- [8] M.R. Salimi, H. Karimaei, Making Catalyst and Preparing Catalyst Bed for Hydrazine Decomposition in LowThrust Monopropellant Thrusters. *Journal of Technology in Aerospace Engineering*, 2(4) (2018) 17-25. (in persian)

چگونه به این مقاله ارجاع دهیم

M. R. Salimi, H. Karimaei , M. Gholampour Yazdi, Numerical Study of Catalyst Bed Performance of a Monopropellant Thruster Under Influence of Porosity Coefficient, *Amirkabir J. Mech Eng.*, 54(7) (2022) 1607-1622.

DOI: [10.22060/mej.2022.20741.7305](https://doi.org/10.22060/mej.2022.20741.7305)

